

II-314 活性汚泥による長鎖脂肪酸の分解に関する研究

東北大学 正 松本順一郎
東北大学 学。徐錦基

1. はじめに:

活性汚泥によるオリーブ油中の脂肪酸の分解機構について回分実験によって検討したが⁽¹⁾、n-ヘキサン抽出物質としての油分全体の消長のみを検討したもので、オリーブ油中個々の構成成分である脂肪酸の分解挙動について未検討であった。そこで、今回は単一脂肪酸を用い、活性汚泥による分解機構に関する実験を行った結果を報告する。

2. 実験方法および分析手順:

実験に用いた基質組成を表-1に示す。基質のC/N比は5/1である。通常の長鎖脂肪酸は水に難溶性であるため、脂肪酸の1/10程度の乳化剤Tween 80を加え、超音波機器でエマルジョン化ものを基質として用いた。表-2に示しているのは本実験に用いた長鎖飽和及び不飽和脂肪酸である。投入基質のpHは7.0である。種種汚泥はオリーブ油で1年以上 fill and draw の方式で十分馴致したもの用いた。実験は、水温20°C、振とう速度125回/分、振幅2cmで振とう培養装置を用いて回分実験を行った。

まず、汚泥濃度約2500mg/lになるように同時に6本の500ml坂口フラスコに種植した。各フラスコに同じ濃度の脂肪酸を加えて、全量を150mlにして。初期脂肪酸濃度は100mg/lから1000mg/lまで変化させて投入した。振とうを開始して、反応時間が0.12.24.(hr)となるような時間間隔で、フラスコを振とう機からはずして分析した。フラスコ内混合液中の脂肪酸量を図-1に示す分析手順で分析した。一度ビーカーとクロロホルムを振とう機からはずしたフラスコに添加し抽出操作を行う。抽出した混合液を遠心分離させ、水層を捨て、残りの脂層だけをNa₂SO₄を加え、脂層中微量の水分を脱水する。次に、溶剤を揮発させ、乾燥、冷却したのち、全脂質量を秤る。又、標準脂肪酸のn-C₁₃トリデカ酸を添加し、エステル化して、ガスクロに注入して、脂肪酸濃度を定量した。

3. 実験結果および考察:

図-2は、三つの長鎖飽和脂肪酸の分解過程を示す経日変化の一例を示す。ミリスチン酸やパルミチン酸の回分初期において、急速に分解、除去されることがわかる。また、その初期除去速度はC_{14:0}、C_{16:0}、C_{18:0}の順に小さくなる。そこで、各脂肪酸の初期比除去速度の濃度依存性を次のようく検討した。

先に報告したもの⁽²⁾と同じ手法で、単一基質除去速度について適用されていける Michaelis-Menten の酵素反応速度式を用いた。

$$\nu = -\frac{1}{X} \cdot \frac{dS}{dt} = -\frac{\Delta S}{\Delta t} = \frac{\nu_{max} \cdot S}{K_m + S} \quad \text{--- (1)}$$

ここで:

$$\nu = \text{基質の比除去速度} (\text{1/day}), \quad S = \text{基質の初期濃度} (\text{mg/l})$$

$$\nu_{max} = \text{基質の比除去速度の最大値} (\text{1/day}), \quad K_m = \text{飽和常数} (\text{mg/l})$$

表-1. 基質組成

| Patty Acid | 1000 mg/l |
|---|-----------|
| (NH ₄) ₂ SO ₄ | 500 mg/l |
| K ₂ HPO ₄ | 1600 mg/l |
| KH ₂ PO ₄ | 200 mg/l |
| MgSO ₄ ·7H ₂ O | 50 mg/l |
| CaCl ₂ | 50 mg/l |
| FeSO ₄ ·7H ₂ O | 20 mg/l |
| NaCl | 20 mg/l |

表-2. 脂肪酸

| | |
|-------------------|----------|
| C _{14:0} | Myristic |
| C _{16:0} | Palmitic |
| C _{18:0} | Stearic |
| C _{18:1} | Oleic |
| C _{18:2} | Linoleic |

振とう培養

↓
(メタ)ルーカロホルム抽出
↓ 遠心分離

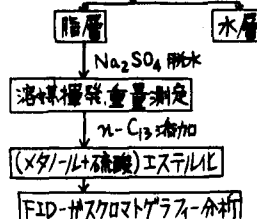


図-1. 分析手順

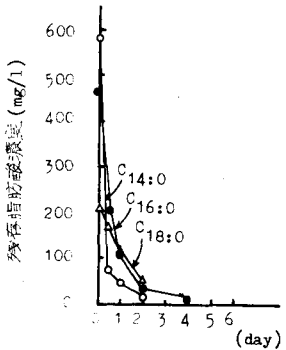


図-2. 経日変化

回分実験では、基質濃度と環境条件が時間とともに変化する非定常状態なので、汚泥の比基質除去速度に及ぼす基質濃度の影響は回分実験の初期速度から決定しなければならない。本実験では0時間から12時間までの回分初期の除去速度から比基質除去速度を計算した。(1)式を逆数変換すると(2)式のようなLineweaver-Burk plot式になる。

$$\frac{1}{V} = \frac{1}{V_{max}} + \frac{K_m}{V_{max}} \cdot \frac{1}{S} \quad \text{--- (2)}$$

(2)式に従って、実験結果を整理すると、図-3になる。(C_{18:0}の実験は現在継続中)また、このようにして求められた最大比基質除去速度V_{max}と飽和常数K_mを用いて、Michaelis-Menten型に整理すると、比基質除去速度Vの基質依存性は図-4になる。

活性汚泥による長鎖飽和脂肪酸の初期最大比除去速度V_{max}は炭素数の増大とともに減少することがわかる。これは、脂肪酸の水溶性の難易に関係していると考えられる。即ち、基質が細胞内で分解除去されるためには、細胞膜を通過するように、水溶性であるが、または、細胞外酵素によって、水溶性になるものでなければならない。従って、水溶性の高い脂肪酸ほど分解されやすいことになる。表-3には、飽和脂肪酸の水に対して溶解度を示す。炭素の鎖長が長くなるほど、溶解度が小さくなる。一般に、不飽和脂肪酸が飽和脂肪酸より高い溶解度をもつことは良く知られている。図-4によると、不飽和脂肪酸C_{18:1}の活性汚泥による初期比除去速度は飽和脂肪酸C_{18:0}のそれより大きいことがわかる。Loehrら⁽³⁾は、脂肪酸の微生物による分解速度について、炭素数12から20までの飽和及び不飽和脂肪酸を塩の形で与え、好気条件下で検討したが、ほぼそれと同じような傾向が得られた。即ち、C_{14:0}の脂肪酸最も分解されやすく、C_{16:0}、C_{18:1}、C_{18:0}の順で、炭素数や不飽和基に従って、最大基質比除去速度V_{max}が減小する。

また、飽和脂肪酸の分解に関するβ-酸化理論によると、飽和脂肪酸は炭素原子2個が単位になって酸化分解していくものと推定されている。本実験では、ガスクロによる分析結果、混合液中C_{14:0}のミクチン酸を基質として用いた回分培養の12時間目で、少量のC_{12:0}のラウリ酸が検出された。しかし、C_{16:0}のパルミチン酸とC_{18:0}のステアリン酸を基質として用いた回分実験では、そのような中間産物は見られなかった。

4. むすび:

オリーブ油で剤致した活性汚泥による飽和長鎖脂肪酸の分解について炭素数の増加とともに初期分解速度は小さくなる事が判明した。また、二重結合基をもつ不飽和脂肪酸は飽和脂肪酸より分解されやすいとのことが明らかになった。

参考文献:

- (1)徐、松本; 士木学会第34回年講, II-276 (1979)
- (2)徐、大久保、松本; 工業用水, No.245 (1979)
- (3)Loehr, R.C., and Roth, J.C., J.W.P.C.F. 40, R385 (1968)

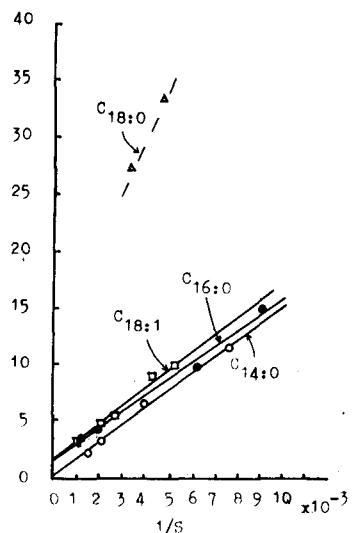


図-3. S と V の Lineweaver-Burk plot

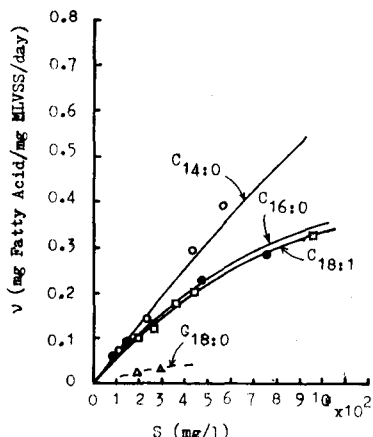


図-4. S と V の関係

表-3. 飽和脂肪酸の水に対して溶解度(at 20°C)

| Fatty Acid | Solubility |
|------------|------------|
| Myristic | 0.0020 |
| Palmitic | 0.0007 |
| Stearic | 0.0003 |

単位: g·fatty acid / 100 g·H₂O